

УДК 537.622

## НЕЙТРОНОГРАФИЧЕСКОЕ ИССЛЕДОВАНИЕ МАГНИТНОЙ ФАЗОВОЙ ДИАГРАММЫ СИСТЕМЫ СУЛЬФИД ХРОМА—СУЛЬФИД НИКЕЛЯ

*Г. И. Маковецкий, К. И. Янушкевич*

Приведены результаты нейtronографического исследования твердых растворов системы  $\text{Cr}_{1-x}\text{Ni}_x\text{S}$ , выполненного в интервале температур 4.2—1100 К. На основании исследований температурной зависимости интенсивности магнитных и смешанных рефлексов, магнитной восприимчивости и намагниченности, а также результатов мессбауэровских исследований в координатах состав—температура построена магнитная фазовая диаграмма системы. В твердых растворах составов  $x=0$ —0.2 при  $T < 200$  К спины упорядочены антиферромагнитно в базисной плоскости и направлены вдоль оси  $c$ . При температурах выше 300 К они развернуты под углом 40° к оси  $c$ . Упорядочение описывается волновым вектором  $K = \frac{2\pi}{a} (1/2, 0, 0)$ . В области температур выше 460 К магнитная ячейка по параметрам совпадает с кристаллохимической и тип магнитного упорядочения аналогичен наблюдаемому в  $\text{NiS}$ , и твердых растворах на его основе с волновым вектором  $K = \frac{2\pi}{a} (0, 0, 0)$ . Твердые растворы составов  $x = 0.2$ —0.7 при  $T = 4.2$ —40 К обладают антиферромагнитным упорядочением, аналогичным упорядочению в  $\text{CrS}$ , а при температурах выше указанных — упорядочением с нескомпенсированным магнитным моментом.

В [1] рассмотрено влияние катионного замещения на свойства твердых растворов в системе  $\text{Cr}_{1-x}\text{Ni}_x\text{S}$ . На основании результатов измерений магнитной восприимчивости и спектров ЯГР было установлено, что температура 460 К для сульфида хрома является температурой промежуточного фазового превращения, а переход антиферромагнетик—парамагнетик происходит при 820—860 К. Было показано, что составы  $0.2 \leq x \leq 0.7$  обладают нескомпенсированным магнитным моментом. Ранее нами было показано [2], что элементарная магнитная ячейка сульфида хрома имеет параметры  $a_m = 2a_0$ ,  $c_m = c_0$  ( $a_0$ ,  $c_0$  — параметры кристаллохимической ячейки). Магнитные моменты атомов хрома при 80 К направлены вдоль оси  $c$ , а при комнатной температуре ориентированы под углом 40° к указанной оси. Элементарная магнитная ячейка сульфида никеля по размерам совпадает с кристаллохимической [3]. Магнитные моменты атомов никеля ориентированы вдоль гексагональной оси  $c$ .

Для уточнения характера магнитного упорядочения в интервале температур 450—800 К в сульфиде хрома и твердых растворах на его основе требовалось проведение нейtronографических исследований. В данной работе приводятся результаты нейtronографического изучения магнитных свойств и фазовой диаграммы твердых растворов системы  $\text{CrS}-\text{NiS}$ .

Исследования проведены на порошковых образцах, приготовленных через 10 мол % по технологии, описанной в [4], в тонкостенных ванадиевых контейнерах при длине волны нейтронов 1.81, 1.29 и 1.075 Å в области температур 4.2—1100 К. Комплекс нейtronографических измерений включал съемку полных нейtronограмм в интервале углов  $2\theta = 5$ —60° при 4.2, 80 К и температуре выше перехода в магнитоупорядоченное состояние, а также исследование температурных зависимостей интенсивно-

сти магнитных рефлексов. Анализ полных нейтронограмм позволил установить тип магнитной структуры твердых растворов при различных температурах и определить значения магнитных моментов магнитоактивных атомов. Ход температурных зависимостей интенсивности основных магнитных рефлексов позволил судить о характере магнитных превращений и дал возможность определить значения температур, при которых они происходят.

По виду полученных нейтронограмм сплавы исследованной системы можно условно разделить на три группы. К первой группе относятся сульфид хрома и  $\text{Cr}_{0.9}\text{Ni}_{0.1}\text{S}$ , на нейтронограммах которых чисто магнитные рефлексы наблюдались при температурах 4.2—450 К. Вторая группа включает твердые растворы составов  $x=0.2-0.7$ , на нейтронограммах

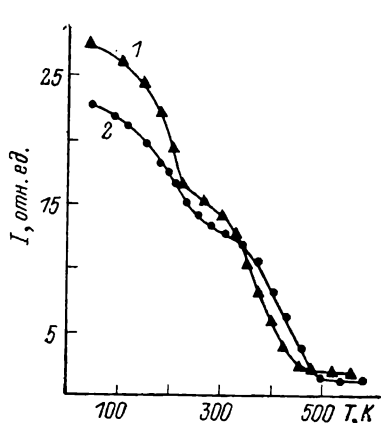


Рис. 1. Температурная зависимость интенсивности рефлекса  $(1/2\ 0\ 1)_m$  сульфида хрома (1) и  $\text{Cr}_{0.9}\text{Ni}_{0.1}\text{S}$  (2).

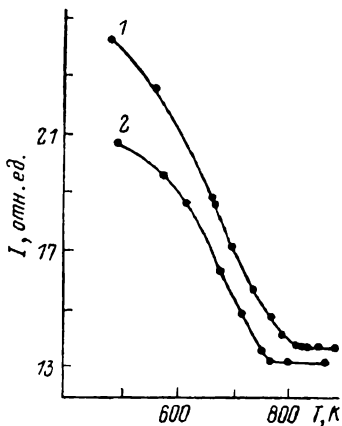


Рис. 2. Температурная зависимость рефлекса (1 0 1) при  $T > 500$  К сульфида хрома (1) и  $\text{Cr}_{0.9}\text{Ni}_{0.1}\text{S}$  (2).

которых чисто магнитные рефлексы наблюдались лишь в интервале температур 4.2—40 К. К третьей группе относятся сульфид никеля и твердые растворы на его основе составов  $x=0.8-1.0$ . На их нейтронограммах во всем исследованном интервале температур чисто магнитных рефлексов не наблюдалось.

На нейтронограммах моносульфида хрома и состава  $\text{Cr}_{0.9}\text{Ni}_{0.1}\text{S}$  чисто магнитные рефлексы  $(1/2\ 0\ 1)_m$  и  $(1/2\ 0\ 3)_m$ , обусловленные антиферромагнитным упорядочением магнитных моментов на базе магнитной ячейки с параметрами  $a_m = 2a_0$  и  $c_m = c_0$ , описываемым волновым вектором  $K = \frac{2\pi}{a} (1/2, 0, 0)$ , наблюдались до температур 460 и 480 К соответственно.

Температурные зависимости интенсивностей магнитного рефлекса  $(1/2\ 0\ 1)_m$  указанных составов представлены на рис. 1. Излом в области 225—300 К свидетельствует о наличии фазового перехода.

Исследование температурных зависимостей рефлексов (100), (101), (102), (110) и (103) сульфида хрома и  $\text{Cr}_{0.9}\text{Ni}_{0.1}\text{S}$  в интервале 500—1000 К показало, что при повышении температуры от 500 до 850 К интенсивность рефлексов (101) и (103) уменьшалась соответственно на 35—40 и 20—25 %. Зависимости интенсивности рефлекса (101) от температуры в интервале 500—900 К сульфида хрома и  $\text{Cr}_{0.9}\text{Ni}_{0.1}\text{S}$ , представлены на рис. 2. Их ход, и резкое уменьшение интенсивности при повышении температуры выше 800 К свидетельствует о том, что в суммарную интенсивность значителен вклад от магнитного упорядочения и что вблизи этой температуры в указанных веществах происходит переход от магнитоупорядоченного состояния в парамагнитное. Температура перехода, оцененная из зависимости  $I_{(101)}(T)$ , равна 820 К для сульфида хрома и 780 К для  $\text{Cr}_{0.9}\text{Ni}_{0.1}\text{S}$ .

Анализ результатов нейтронографического исследования и измерений магнитной восприимчивости дает основание предположить, что в сульфиде

хрома в области 460—820 К и в  $\text{Cr}_{0.9}\text{Ni}_{0.1}\text{S}$  в области 480—780 К реализуется антиферромагнитное упорядочение магнитных моментов вдоль кристаллографической оси  $c$ , описываемое волновым вектором  $K=2\pi/a(0, 0, 0)$ , с элементарной магнитной ячейкой, по параметрам совпадающей с кристаллохимической. Ниже 460 и 480 К соответственно в этих веществах имеет место антиферромагнитное упорядочение с магнитной ячейкой с параметрами  $a_m=2a_0$  и  $c_m=c_0$ .

На рис. 3 представлены нейтронограммы твердого раствора состава  $\text{Cr}_{0.8}\text{Ni}_{0.2}\text{S}$ , снятые при 4.2, 40 и 300 К. Аналогичный вид имели нейтронограммы твердых растворов составов  $x=0.2-0.7$ . На нейтронограммах, полученных при гелиевой температуре, наблюдались чисто магнитные рефлексы  $(1/2\ 0\ 1)_M$  и  $(1/2\ 0\ 3)_M$  антиферромагнитной структуры с постоянными элементарной магнитной ячейки  $a_m=2a_0$  и  $c_m=c_0$ . При нагревании образцов они исчезали в зависимости от состава выше 8—45 К. Это сви-

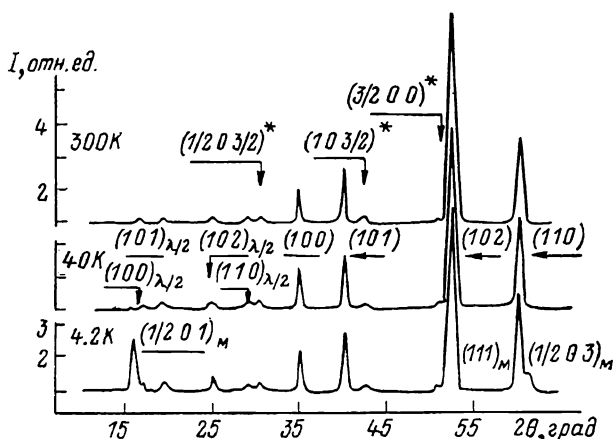


Рис. 3. Нейтронограммы  $\text{Cr}_{0.8}\text{Ni}_{0.2}\text{S}$ , снятые при 4.2, 40, 300 К.  $\lambda_n=1.81 \text{ \AA}$ .

детельствует о том, что магнитное упорядочение, аналогичное упорядочению в сульфиде хрома, в твердых растворах составов  $x=0.2-0.7$  реализуется лишь при температурах, близких к гелиевой. Значения среднего магнитного момента катионов для этих составов, рассчитанные из интенсивности магнитных рефлексов, равны  $(0.8-1.0)\pm0.1 \mu_B$ . Выделить магнитный вклад в ядерные рефлексы указанных твердых растворов в интервале температур 50—1000 К оказалось затруднительным из-за малости результирующего нескомпенсированного магнитного момента и возрастания интенсивностей ядерных рефлексов вследствие снятия искажений решетки при повышении температуры. Звездочками на нейтронограммах отмечены рефлексы сверхструктуры, обусловленной искажениями решетки.

Нейтронограммы сульфида никеля и твердых растворов на его основе составов  $X=0.8-0.9$ , снятые при температурах ниже и выше температур магнитного фазового перехода, аналогичны полученным в [5]. Анализ изменения интенсивностей рефлексов и магнитной восприимчивости в за-

значения интенсивностей рефлексов  $(0\ 0\ 2)+(1\ 0\ 1)$ ,  
средних магнитных моментов и температур Нееля  $\text{NiS}$   
и твердых растворов с  $x=0.9$  и  $0.8$

Состав	$J_{(002)+(100)}$			$T_N, \text{ К}$	$\mu (\mu_B)$
	4.2 К	80 К	300 К		
NiS	39.8	37.6	23.7	260	$1.7\pm0.3$
$\text{Cr}_{0.1}\text{Ni}_{0.9}\text{S}$	36.9	35.7	23.87	240	$1.4\pm0.3$
$\text{Cr}_{0.2}\text{Ni}_{0.8}\text{S}$	34.1	30.8	23.9	215	$1.1\pm0.3$

висимости от температуры дает основание предположить, что при 4.2 К в них имеет место антиферромагнитное упорядочение, описываемое волновым вектором  $K = \frac{2\pi}{a}(0, 0, 0)$ , с направлением магнитных моментов вдоль оси  $c$ . При этом магнитная ячейка по параметрам совпадает с кристаллохимической.

В таблице приведены значения интенсивностей рефлексов (002)+(101) сульфида никеля,  $\text{Cr}_{0.1}\text{Ni}_{0.9}\text{S}$  и  $\text{Cr}_{0.2}\text{Ni}_{0.8}\text{S}$ , измеренных при 4.2, 80 и 300 К, средних магнитных моментов при 4.2 К, а также температур Нееля, полученных из нейтронографических данных. Отметим, что значения температур Нееля, установленные нейтронографическим методом, хорошо согласуются со значениями, полученными из магнитных и ЯГР измерений.

По результатам нейтронографических, магнитных и мессбауэровских исследований в координатах состав—температура построена магнитная фазовая диаграмма твердых растворов системы сульфид хрома—сульфид никеля, представленная на рис. 4. На диаграмме в интервале составов  $x=0-0.2$  видны

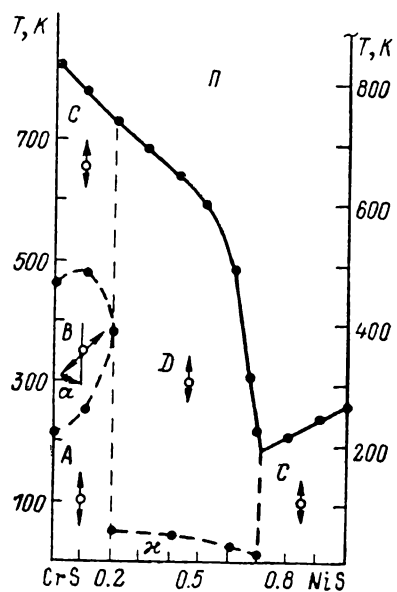


Рис. 4. Магнитная фазовая диаграмма системы  $\text{CrS}-\text{NiS}$ .

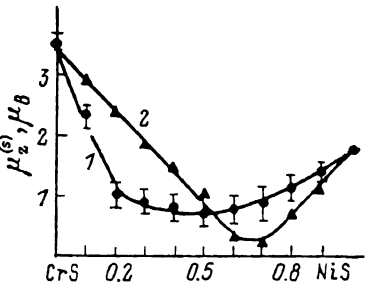


Рис. 5. Концентрационная зависимость магнитных моментов на атом хрома и никеля (4.2 К) в системе  $\text{Cr}_{1-x}\text{Ni}_x\text{S}$ .  
1 — нейтронографические измерения, 2 — расчетные значения.

три области, обладающие различным типом магнитного упорядочения. В области  $A$  спины направлены вдоль оси  $c$  и упорядочены антиферромагнитно в базисной плоскости. Постоянные элементарной магнитной ячейки соотносятся с постоянными кристаллохимической ячейки как  $a_m=2a_0$  и  $c_m=c_0$ .

В области  $B$  в  $\text{CrS}$  и  $\text{Cr}_{0.9}\text{Ni}_{0.1}\text{S}$  наблюдается разворот спинов от оси  $c$  в сторону базисной плоскости. При температурах выше 300 К спины ориентированы под углом  $40^\circ$  к оси  $c$ . Разворот спинов определен из температурной зависимости интенсивности чисто магнитного рефлекса  $(1/2\ 0\ 1)_m$ . Размеры элементарной магнитной ячейки и характер упорядочения магнитных моментов в этой области такие же, как и в области  $A$ .

В области  $C$  элементарная магнитная ячейка по параметрам совпадает с кристаллохимической. Антиферромагнитное упорядочение спинов в этой области температур установлено на основании анализа температурной зависимости интенсивностей смешанных рефлексов (101) и (103), а также результатов мессбауэровского исследования.

Температуры Нееля твердых растворов составов  $x=0-0.2$  определены по излуку на кривых температурной зависимости магнитной восприимчивости; интенсивностей смешанных ядерно-магнитных рефлексов и температурам исчезновения зеemanовского магнитного расщепления. Уменьшение температуры Нееля с увеличением содержания никеля указывает на то, что прямое обменное взаимодействие катионов вдоль оси  $c$  в системе

$\text{Cr}_{1-x}\text{Ni}_x\text{S}$  при высоких температурах (область  $C$ ) носит антиферромагнитный характер. Это согласуется с моделью Гуденафа [6] для соединений со структурой NiAs-типа. На преимущественно прямое обменное взаимодействие между катионами вдоль кристаллографической оси  $c$  в решетке сплавов системы указывают также результаты мёссбауэрских исследований.

Твердые растворы составов  $x=0.2-0.7$  в области температур 4.2–40 К (область  $x$ ) обладают смешанным магнитным упорядочением: антиферромагнитным, аналогичным упорядочению, существующему при таких температурах в сульфиде хрома, и упорядочением с нескомпенсированным магнитным моментом. В области  $D$  такое упорядочение определено как ферримагнитное. Подтвердить характер этого упорядочения нейтронографическим исследованием не удалось из-за малости величины нескомпенсированного магнитного момента.

Причиной появления нескомпенсированного магнитного момента в средних составах может быть значительная разница в величинах магнитного момента катионов в образующих систему соединениях: 3.5  $\mu_B$  в CrS и 1.7  $\mu_B$  в NiS. В результате при образовании твердых растворов может происходить раскомпенсация антиферромагнитного упорядочения. Возможно также, что образование твердых растворов сопровождается нарушением равновесия в распределении катионов по междоузлиям. В результате на ЯГР спектрах этих составов проявляется набор подрешеток с различными эффективными магнитными полями.

Концентрационные зависимости величин магнитных моментов, полученных из данных нейтронографических исследований при 4.2 К и рассчитанных в предположении ферримагнитного упорядочения магнитных подрешеток хрома и никеля, в твердых растворах системы представлены на рис. 5.

В сульфиде никеля и твердых растворах на его основе составов  $\text{Cr}_{0.9}\text{Ni}_{0.1}\text{S}$  и  $\text{Cr}_{0.2}\text{Ni}_{0.8}\text{S}$ , согласно фазовой диаграмме, в области  $C$  реализуется антиферромагнитное упорядочение магнитных моментов с направлением вдоль оси  $c$  и элементарной магнитной ячейкой, по параметрам совпадающей с кристаллохимической. Температура Нееля при этом, как и в твердых растворах на основе сульфида хрома, понижается до 215 К в твердом растворе  $\text{Cr}_{0.2}\text{Ni}_{0.8}\text{S}$ . Нейтронографическое исследование сульфида никеля при температурах вплоть до 1100 К не подтвердило предположения [7] о том, что его температура Неела равна 1000 К.

#### Л и т е р а т у р а

- [1] Маковецкий Г. И., Янушкевич К. И., Васильев Э. А., Шабловский А. В. ФТТ, 1983, т. 25, № 2, с. 506–511.
- [2] Makovetskii G. I., Ryzhkovskii V. M., Shahlevich G. M. Phys. St. Sol. (a), 1977, vol. 39, p. K127–K130.
- [3] Sparks J. T., Komoto T. J. Appl. Phys., 1963, vol. 34, N 4, p. 1191–1192.
- [4] Маковецкий Г. И., Янушкевич К. И. ДАН БССР, 1979, т. 23, № 9, с. 798–800.
- [5] Бланкова Е. Б., Келарев В. В., Пирогов А. Н., Вожнянин А. П., Турхан Ю. Э., Якишибаев Р. А. В сб.: Нейтронография металлов, сплавов и соединений. УНЦ АН СССР, Свердловск, 1977, с. 46–50.
- [6] Гуденаф Д. Магнетизм и химическая связь. М.: Металлургия, 1968, с. 229–243.
- [7] Mott N. F. Переходы металл–изолят. М.: Наука, 1979. 245 с.